

4. МОДЕЛИРОВАНИЕ И ПРОЕКТИРОВАНИЕ СИСТЕМЫ

Проектирование информационной системы мониторинга безопасности периметра базируется на функциональных и нефункциональных требованиях, сформулированных в разделе 2. Основной задачей данного этапа является конкретизация архитектурных, технологических и структурных решений, необходимых для построения работоспособной, устойчивой и масштабируемой системы, соответствующей целевым сценариям применения.

Выбор технологического стека обусловлен спецификой задач, поставленных перед системой, и особенностями её целевой среды эксплуатации. Основной акцент сделан на локальной работе, устойчивости к сбоям, использовании алгоритмов компьютерного зрения и временного прогнозирования, а также на минимальной зависимости от внешних облачных сервисов.

4.1. Аппаратно-ОС-платформа

Система развёртывается в виде настольного программного обеспечения на рабочих станциях под управлением ОС семейства Windows и Linux. При этом приоритет отдается ОС на базе ядра Linux, в связи с более гибкой и детализированной настройкой безопасности [8]. В качестве ОС на базе ядра Linux рекомендуются дистрибутивы: Debian, Ubuntu, Fedora, Astra Linux и Arch Linux. В качестве аппаратной базы используются стандартные промышленные компьютеры и серверы с поддержкой многопоточности и аппаратного ускорения графики.

Минимальные требования к аппаратной составляющей представлены в таблице 4.1.1.

Таблица 4.1.1 – Минимальные требования к аппаратной составляющей (составлено автором)

| | | |
|------------------------------|---------|---|
| Сервер обработки данных | CPU | Intel Core i5 / AMD Ryzen 5 (4–6 ядер, ≥ 2.5 ГГц) |
| | GPU | NVIDIA GTX 1650 / RTX 2060 (4–6 ГБ VRAM) для запуска ML-моделей |
| | RAM | 16 ГБ DDR4 |
| | HDD | 512 ГБ SSD + 1 ТБ HDD для хранения данных |
| Рабочая станция пользователя | CPU | Intel i5 / AMD Ryzen 5 (4–6 ядер, ≥ 2.5 ГГц) |
| | RAM | 16 ГБ |
| | Монитор | Full HD (1920×1080), опционально с поддержкой сенсорного ввода |

Взаимодействие с БПЛА осуществляется через интерфейс наземной станции управления и каналы телеметрии. Бортовая платформа дронов использует прошивку PX4 с открытым API. Регламентация вектора информационного взаимодействия, между системой и БПЛА, осуществляется по техническим протоколам MAVLink [9].

4.2. Языки и библиотеки

Разработка системы осуществляется на языке C++ с применением библиотеки Qt версии 6+ для построения графического интерфейса и межмодульного взаимодействия [10]. Для работы с изображениями и видеопотоком используется OpenCV, эффективная библиотека для обработки видео и изображений в реальном времени. Создание и обучение нейросетевого модуля реализуется на Python с использованием библиотек TensorFlow и PyTorch [11]. Обмен данными между компонентами, написанными на различных языках, реализуется через сериализованные структуры и локальные каналы взаимодействия. Взаимодействие между компонентами системы и нейросетевыми модулями, конвертированными в формат ONNX, производится с помощью библиотеки ONNX Runtime [12]. Такая связка обеспечивает высокую производительность в критичных участках и гибкость при работе с нейросетевыми моделями.

4.3. СУБД и формат данных

Для хранения событий, телеметрии, маршрутов и аналитических результатов используется встроенная реляционная СУБД (SQLite), обеспечивающая достаточную производительность при локальном использовании и простоту интеграции с приложением [13]. При увеличении объемов данных, возможен переход на более вместительную, но более “тяжелую” реляционную СУБД (PostgreSQL). Для временного обмена между модулями применяются сериализованные JSON-объекты, а также XML и бинарные форматы для исторических выборок и логирования.

Диаграмма принятия решений представлена на рисунке 4.3.1.

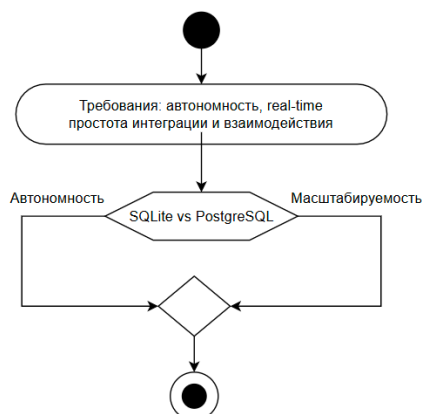


Рисунок 4.3.1 – Диаграмма принятия решений (разработано автором)

4.4. ML-модели

В архитектуре системы предполагается использование двух типов моделей машинного обучения: модели для пространственной детекции объектов YOLO и модели для анализа временных рядов (например, архитектуры типа LSTM). Их задача заключается соответственно в обнаружении угроз на видеопотоке и прогнозировании рисков по накопленным телеметрическим данным. Модели конвертируются и интегрируются в систему в формате ONNX, в связи с универсальностью и независимостью от фреймворка, взаимодействие осуществляется посредством межпроцессорного обмена данными с системой.

4.5. Инструменты тестирования

Для отладки и тестирования системы используются встроенные модули логирования, мониторинга и визуализации состояния компонентов. Функциональное тестирование выполняется через имитацию пользовательских сценариев, тестирование ML-моделей — через метрики precision, recall, AUC, визуальный анализ. Также применяются юнит-тесты для отдельных классов C++ и нагрузочные тесты для оценки поведения системы при высоком объеме видеопотока и событий. Для финального тестирования перед физическим развертыванием системы используется Gazebo Simulator в симбиозе с PX4-AutoPilot, позволяющие эмулировать работу системы с гибкой настройкой окружения, близкого к реальным условиям [14].

5. ВЫБОР СРЕДСТВ АВТОМАТИЗИРОВАННОГО ПРОЕКТИРОВАНИЯ, РАЗРАБОТКИ, ТЕСТИРОВАНИЯ И СОПРОВОЖДЕНИЯ, ФОРМАТЫ ДАННЫХ

Для успешной реализации проекта необходимы инструменты, охватывающие все этапы жизненного цикла программного обеспечения — от проектирования до сопровождения. В данном разделе описываются инструменты, использованные при создании системы, их функционал и обоснование выбора.

5.1. Средства автоматизированного проектирования

На этапе проектирования системы был использован следующий инструмент:

- CA Erwin Process Modeler

Инструмент для проектирования процессов в нотации IDEF0. Использовался для моделирования бизнес-логики и структуры данных [15].

- Draw.io

Бесплатный онлайн-сервис для создания диаграмм (классов, потоков данных, архитектуры системы). Выбор обусловлен простотой интерфейса, поддержкой разнообразных диаграмм и возможностью совместной работы.

5.2. Средства разработки

Разработка системы велась с использованием следующих инструментов:

- VS Code

Кроссплатформенный редактор с поддержкой Python, интеграцией с системами контроля версий и встроенным терминалом.

- Qt Creator

Среда для разработки графического интерфейса на C++ с использованием библиотеки Qt, обеспечивающая быструю реализацию пользовательских сценариев.

- DB Browser for SQLite

Графический инструмент для работы с базами данных SQLite. Использовался для создания, редактирования таблиц, выполнения SQL-запросов и проверки целостности данных.

5.3. Выбор СУБД и форматов данных

В качестве основной системы хранения используется реляционная СУБД SQLite, интегрированная непосредственно в приложение. Выбор данной базы данных обусловлен следующими факторами:

- Локальность и автономность — отсутствие зависимости от внешних серверов, что критично для систем безопасности.

- Производительность: эффективная работа с данными даже на ограниченных аппаратных ресурсах.

- Простота интеграции: встраиваемость в приложение без необходимости дополнительной настройки серверов.

- Поддержка ACID-транзакций: гарантия целостности данных при записи событий, телеметрии и результатов анализа [16].

Для временного обмена данными между модулями (например, между компонентами на C++ и Python) применяются:

- Сериализованные JSON-объекты: обеспечивают гибкость и читаемость при передаче параметров конфигурации и метаданных.

- XML-файлы: используются для логирования исторических выборок и экспорта данных.

- Бинарные форматы: применяются для хранения видеопотоков и больших объёмов телеметрии с минимальными накладными расходами.

При масштабировании системы для работы с крупными массивами данных предусмотрен переход на PostgreSQL, что позволит сохранить реляционную модель, но повысить производительность за счёт распределённой архитектуры.

5.4. Конфигурация ML-моделей и интеграция

Модели машинного обучения (YOLO для детекции объектов, LSTM для анализа временных рядов) хранятся и используются в формате ONNX. Это обеспечивает:

- Кросс-фреймворковую совместимость: независимость от библиотек (TensorFlow, PyTorch) на этапе эксплуатации.

- Оптимизацию производительности: ускорение инференса за счёт универсальной среды выполнения.

- Лёгкость обновления моделей: замена версий без изменения кода системы.

Взаимодействие между модулями (например, передача результатов детекции из Python-модели в C++-ядро) реализовано через межпроцессорный обмен данными с использованием сериализованных структур и локальных сокетов.

Преимущества выбранного подхода :

1. Устойчивость к сбоям: локальная СУБД и бинарные форматы минимизируют риски потери данных при разрывах связи.

2. Гибкость: поддержка JSON и XML позволяет адаптировать систему под сторонние инструменты анализа.

3. Масштабируемость: переход на PostgreSQL и модульность форматов данных обеспечивают рост системы без перепроектирования.

4. Совместимость с ОС: SQLite и ONNX поддерживаются как в Windows, так и в Linux, что соответствует требованиям к кросс-платформенности.

5.5. Средства автоматизированного тестирования

Для тестирования системы использовались:

— Отладчик Qt Creator

Инструмент для пошаговой отладки графического интерфейса и модулей на C++.

— Встроенные тесты SQLite

Механизмы проверки целостности данных, валидации транзакций и работы триггеров. Тесты выполнялись через DB Browser for SQLite для обеспечения корректности операций с базой данных.

5.6. Средства сопровождения

Для управления версиями и сопровождения выбраны Git и GitLab. Это система контроля версий для отслеживания изменений в коде и платформа для хостинга репозиторий. Обеспечивает совместную работу, ревью кода и автоматизацию задач CI/CD [17].

[REDACTED]

[REDACTED]

[REDACTED]

[REDACTED]

[REDACTED]

[REDACTED]

[REDACTED]

6. ОПИСАНИЕ РАЗРАБОТКИ ПРОГРАММНОГО ОБЕСПЕЧЕНИЯ И СТРУКТУР ДАННЫХ

Разрабатываемая система мониторинга безопасности периметра реализована как модульное приложение, сочетающее управление БПЛА, обработку данных в реальном времени и интеграцию с нейросетевыми модулями. Архитектура системы представлена через ключевые UML-диаграммы, отражающие её структуру, взаимодействие компонентов и физическое развертывание.

6.1. Архитектура системы

Система построена по модульному принципу, что обеспечивает гибкость и масштабируемость. Основные компоненты:

1. БПЛА:
 - Оснащены камерами (H.264, 1080p), датчиками и прошивкой PX4.
 - Передают видео через RTMP (UDP 5600) и телеметрию через MAVLink (UDP 14550).
2. Наземная станция:
 - Qt-интерфейс: отображает карту объекта, тревоги, видео и телеметрию.
 - Сервис управления БПЛА: обрабатывает команды (взлёт/посадка), маршруты патрулирования.
 - Сервис аналитики: анализирует исторические данные, генерирует отчёты в PDF.
 - ML-модуль: Детекция объектов (YOLO) и прогнозирование рисков (LSTM) в формате ONNX.
 - Локальная БД (SQLite): хранит события, телеметрию, конфигурации.

Для концептуального отображения была разработана Архитектура системы в виде UML диаграммы, представленная в Приложении А, рисунок 1.

6.2. Диаграмма вариантов использования

Диаграмма, представленная на рисунке 6.2.1 демонстрирует, как система адаптируется под потребности разных ролей:

- Оператор получает инструменты для управления БПЛА в реальном времени, включая запуск патрулей и мониторинг телеметрии, что соответствует требованию к минимальной задержке видео (≤ 2 сек).
- Аналитик использует прогнозные модели (LSTM) и тепловые карты для анализа рисков, что реализует задачу предиктивного анализа из раздела 2.
- Администратор настраивает геозоны и распределяет доступ, обеспечивая соблюдение требований к безопасности (разграничение ролей, ГОСТ Р 56939-2022).

Связь сценариев, таких как Сбор информации и Прогнозирование рисков, подчёркивает интеграцию данных от БПЛА, сенсоров и ML-моделей в единый аналитический контур.

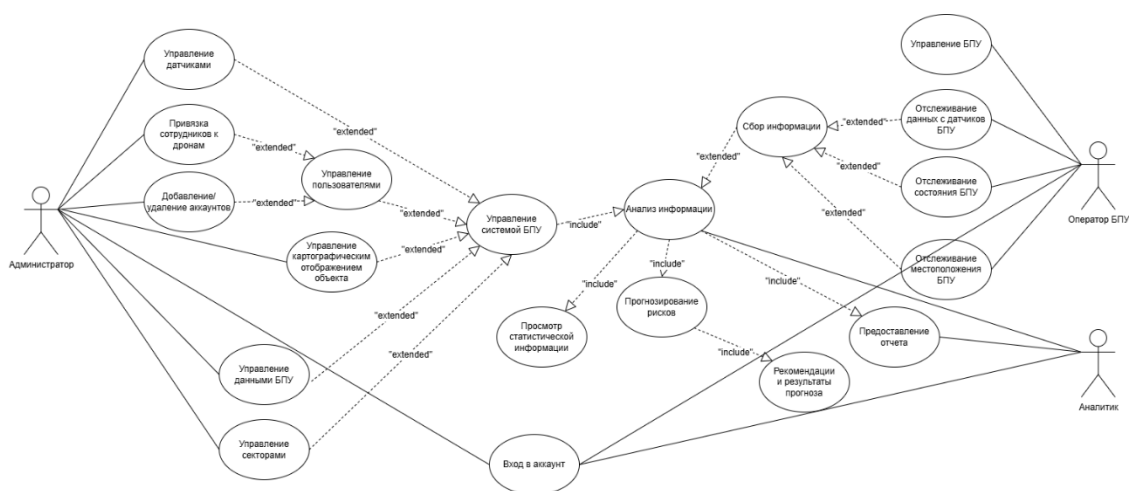


Рисунок 6.2.1 – Диаграмма вариантов использования (разработано автором)

6.3. Диаграмма пакетов

Группировка компонентов в пакеты (Рисунок 6.3.1) отражает модульность системы:

- Пакет данных о БПЛА обеспечивает хранение маршрутов и телеметрии, что поддерживает требование к масштабируемости (до 30 дронов).
- Пакет аналитики объединяет ML-модели (YOLO, LSTM) и инструменты генерации отчётов, выполняя задачу автоматизации анализа из раздела 2.1.
- Зависимость Пакета уведомлений от Пакета прогнозирования показывает, как система автоматически оповещает оператора о рисках, сокращая время реагирования.

Такая структура упрощает обновление компонентов, например, замену SQLite на PostgreSQL без изменения логики других модулей.

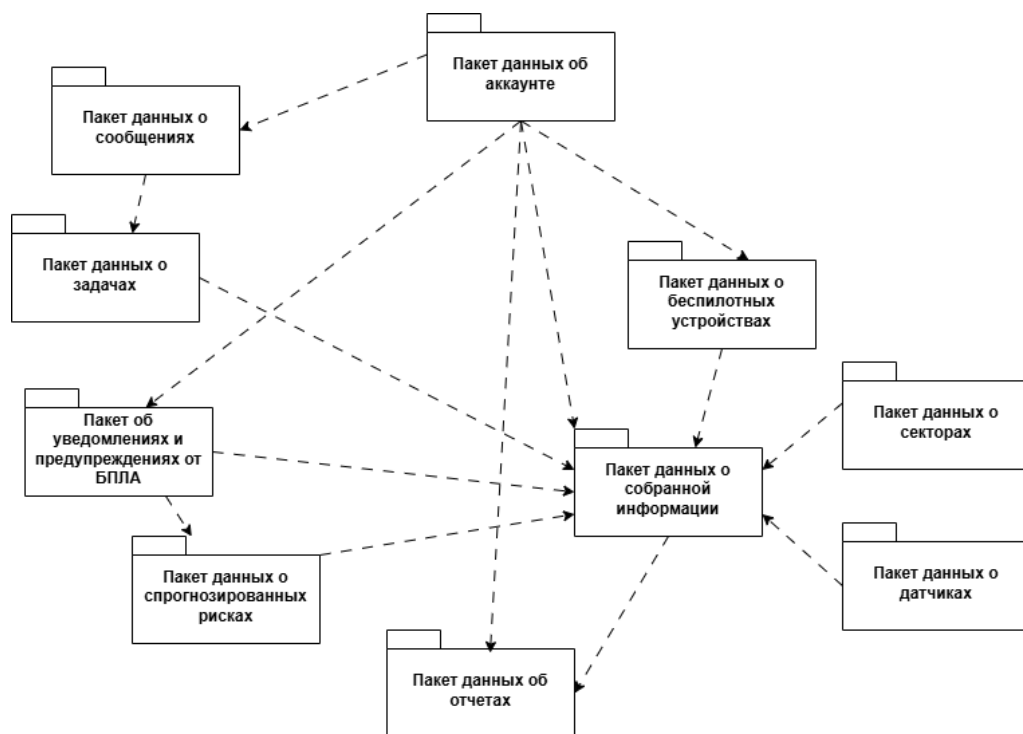


Рисунок 6.3.1 – Диаграмма пакетов (разработано автором)

6.4. Диаграмма компонентов

Взаимодействие компонентов, представленное в виде диаграммы на рисунке 6.4.1, раскрывает, как система достигает производительности 25 FPS:

- ML-модуль обрабатывает видео через YOLO, интегрированный в C++-ядро через ONNX, что соответствует требованию к скорости детекции.
- Сервис управления БПЛА использует MAVLink для передачи команд, обеспечивая стабильную связь даже при потере сигнала (автоматический возврат дронов).
- База данных синхронизирует данные между модулями, используя JSON для конфигураций и бинарные форматы для телеметрии, что минимизирует накладные расходы.

Интерфейсы (например, REST API на порту 8080) позволяют интегрировать систему со сторонними SCADA-решениями через OPC UA.

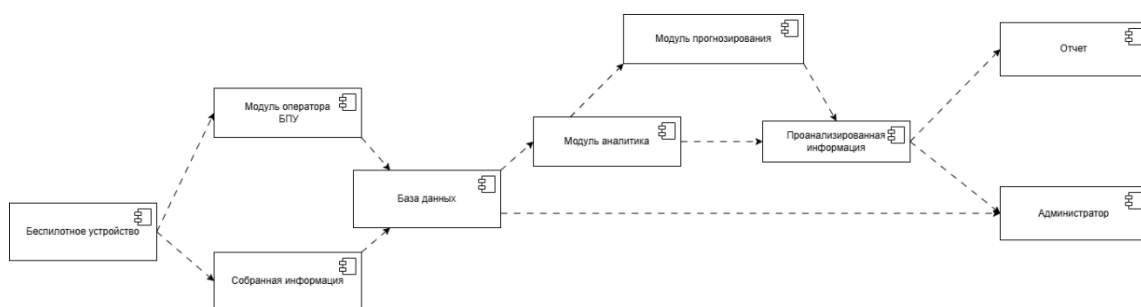


Рисунок 6.4.1 – Диаграмма компонентов (разработано автором)

6.5. Диаграмма развертывания

Физическая архитектура обеспечивает работу в агрессивных условиях:

- БПЛА передают видео по RTMP (битрейт 6 Мбит/с), что соответствует разрешению 1280×720 из требований к данным.
- Наземная станция развернута на оборудовании с GPU NVIDIA GTX 1660+, что гарантирует обработку ML-моделей без задержек.
- Локальная БД (SQLite) и внешнее хранилище резервных копий обеспечивают автономность, критичную для объектов без стабильного интернета.

Использование UDP для видео и MAVLink для телеметрии снижает зависимость от качества канала связи [18].

Для ознакомления с разработанной диаграммой развертывания см. Приложении А, рисунок 2.

Архитектура системы, отражённая в диаграммах и фрагментах кода, обеспечивает:

- Автономность: Локальная БД и обработка данных без облачных зависимостей.
- Производительность: Обработка видео 25 FPS на GPU, прогнозирование в реальном времени.
- Масштабируемость: Возможность подключения до 30 БПЛА, переход на PostgreSQL для больших объёмов данных. Диаграммы демонстрируют соответствие требованиям к безопасности, включая шифрование данных (AES-256) и разграничение прав доступа.

6.6. Описание разработки базы данных

В разрабатываемой системе мониторинга безопасности периметра ключевым аспектом является проектирование эффективной базы данных, обеспечивающей надёжное хранение, обработку и обмен информацией между компонентами [19]. Основные решения в этой области базируются на требованиях к локальности работы, производительности и масштабируемости, сформулированных в разделе 2. Для визуального представления базы данных была разработана ER-диаграмма базы данных.

На рисунке 6.6.1 представлена ER-диаграмма базы данных, отражающая ключевые сущности системы и их взаимосвязи:

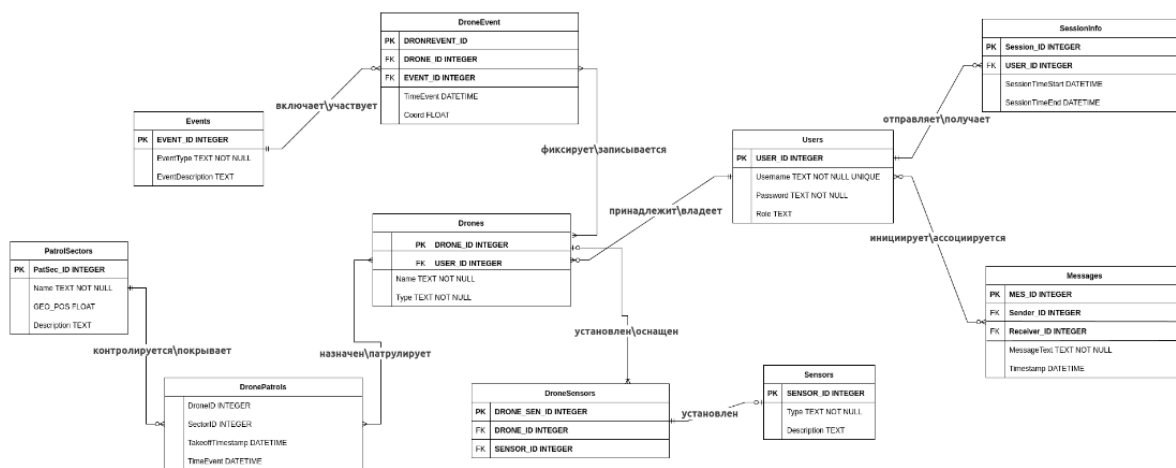


Рисунок 6.6.1 - ER-диаграмма базы данных (разработано автором)

В таблице 6.6.1 приведен словарь основных таблиц базы данных, отражающих сущности и связи, описанные в логической модели.

Таблица 6.6.1 - Словарь основных таблиц базы данных (составлено автором)

| Таблица | Поле | Описание |
|---------|----------|---|
| Users | USER_ID | Целочисленный тип до 4 байт. Уникальный идентификатор пользователя. |
| | Username | Строковый тип, длина до 255 символов. Имя пользователя. |
| | Password | Строковый тип, длина до 255 символов. Пароль пользователя. |
| | Role | Строковый тип, длина до 50 символов. Роль пользователя. |
| Drones | DRONE_ID | Целочисленный тип до 4 байт. Уникальный идентификатор дрона. |
| | Name | Строковый тип, длина до 255 символов. Имя дрона. |
| | Type | Строковый тип, длина до 255 символов. Тип дрона. |
| | USER_ID | Целочисленный тип до 4 байт. Идентификатор пользователя, закреплённого за дроном. |

Продолжение таблицы 6.6.1

| | | |
|---------------|------------------|---|
| PatrolSectors | SECTOR_ID | Целочисленный тип до 4 байт. Уникальный идентификатор сектора. |
| | Name | Строковый тип, длина до 255 символов. Имя сектора. |
| | Description | Строковый тип, длина до 65535 символов. Описание сектора. |
| DronePatrols | DRONE_ID | Целочисленный тип до 4 байт. Идентификатор дрона. |
| | SECTOR_ID | Целочисленный тип до 4 байт. Идентификатор сектора. |
| | TakeoffTimestamp | Дата и время взлёта дрона. Формат: YYYY-MM-DD HH:MM:SS. |
| | TimeEvent | Дата и время события. Формат: YYYY-MM-DD HH:MM:SS. |
| Sensors | SENSOR_ID | Целочисленный тип до 4 байт. Уникальный идентификатор сенсора. |
| | Type | Строковый тип, длина до 255 символов. Тип сенсора. |
| | Description | Строковый тип, длина до 65535 символов. Описание сенсора. |
| DroneSensors | DRONE_ID | Целочисленный тип до 4 байт. Идентификатор дрона. |
| | SENSOR_ID | Целочисленный тип до 4 байт. Идентификатор сенсора. |
| Events | ID | Целочисленный тип до 4 байт. Уникальный идентификатор события. |
| | EventType | Строковый тип, длина до 255 символов. Тип события. |
| | EventDescription | Строковый тип, длина до 65535 символов. Описание события. |
| DroneEvent | EventID | Целочисленный тип до 4 байт. Идентификатор события. |
| | DRONE_ID | Целочисленный тип до 4 байт. Идентификатор дрона. |

Окончание таблицы 6.6.1

| | | |
|-------------|------------------|--|
| | TimeEvent | Дата и время события. Формат: YYYY-MM-DD HH:MM:SS. |
| SessionInfo | SESSION_ID | Целочисленный тип до 4 байт. Уникальный идентификатор сессии. |
| | USER_ID | Целочисленный тип до 4 байт. Идентификатор пользователя. |
| | SessionTimeStart | Дата и время начала сессии. Формат: YYYY-MM-DD HH:MM:SS. |
| | SessionTimeEnd | Дата и время окончания сессии. Формат: YYYY-MM-DD HH:MM:SS. |
| Messages | MESSAGE_ID | Целочисленный тип до 4 байт. Уникальный идентификатор сообщения. |
| | SenderID | Целочисленный тип до 4 байт. Идентификатор отправителя. |
| | ReceiverID | Целочисленный тип до 4 байт. Идентификатор получателя. |
| | MessageText | Строковый тип, длина до 65535 символов. Текст сообщения. |
| | Timestamp | Дата и время отправки. Формат: YYYY-MM-DD HH:MM:SS. |

6.7. Внутреннее устройство реализованной программы

Для реализации программного обеспечения была выбрана связка языка программирования C++ и фреймворка Qt версии 6, что подробно обосновано в разделе 4.2. C++ предоставляет мощные средства объектно-ориентированного программирования (ООП) [20], включая абстракцию, инкапсуляцию, наследование и полиморфизм, что способствует созданию модульного и масштабируемого кода. Qt6 дополняет стандартные возможности C++ собственной объектной моделью, основанной на классе QObject и механизме сигналов и слотов, что обеспечивает эффективную коммуникацию между объектами и поддержку событийно-ориентированной архитектуры. Использование Meta-Object Compiler (moc) позволяет реализовать динамическую типизацию, систему свойств и другие расширения, необходимые для построения гибких и расширяемых пользовательских

интерфейсов [21]. Таким образом, сочетание C++ и Qt6 обеспечивает высокую производительность, кроссплатформенность и удобство разработки сложных приложений с графическим интерфейсом.

В процессе проектирования архитектуры системы особое внимание было уделено модульности и разделению ответственности между компонентами. Это позволило создать гибкую структуру, в которой каждый модуль выполняет строго определённые функции, обеспечивая при этом лёгкость сопровождения и расширения системы. Основные модули включают в себя:

- MainISODWindow: главное окно приложения, управляющее отображением различных пользовательских интерфейсов в зависимости от роли пользователя.
- DBManager: модуль для взаимодействия с базой данных, обеспечивающий хранение и извлечение информации о пользователях, дронах, секторах и событиях.
- ExtraModules: вспомогательные модули, включая обработку данных, детекцию объектов с использованием YOLO и предсказание аномалий с помощью модели LSTM.
- LoginManager: модуль, отвечающий за аутентификацию пользователей и управление сессиями.
- MapBuilder: компонент для отображения карты и взаимодействия с географическими данными, включая построение и валидацию периметра охраняемой зоны.
- UsersWindow: интерфейсы для различных ролей пользователей, таких как администратор, оператор, аналитик и обычный пользователь.

Для наглядного представления архитектуры системы были разработана модульная диаграмма классов, отражающие взаимодействие между основными компонентами и их внутреннюю структуру. Диаграмма представлена на рисунке 6.7.1.

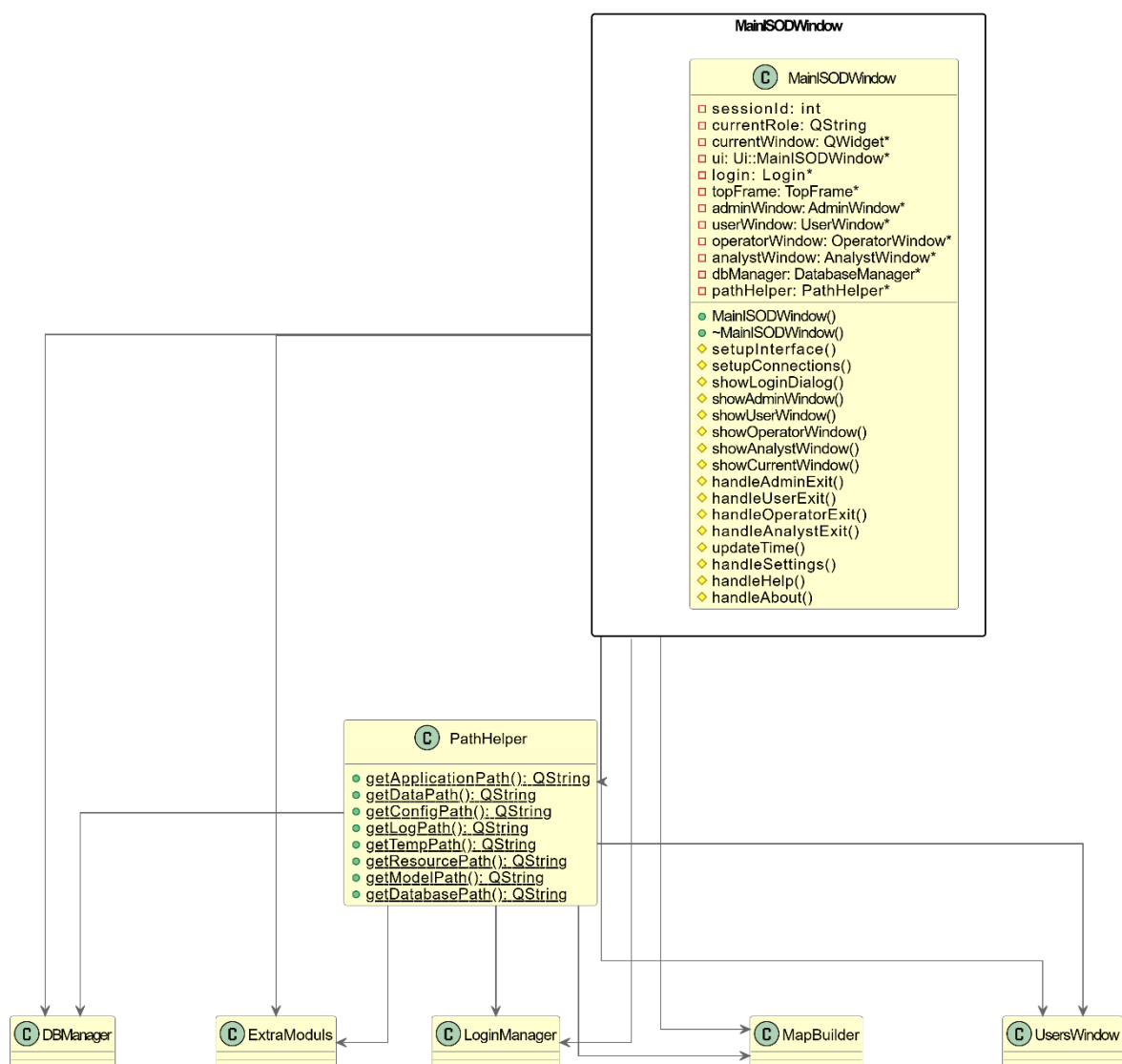


Рисунок 6.7.1 – Модульная диаграмма классов (разработано автором)

6.8. Разработка пользовательских интерфейсов

Для обеспечения эффективного взаимодействия пользователей с системой мониторинга безопасности периметра, разработан графический пользовательский интерфейс, адаптированный к различным ролям пользователей, что соответствует требованиям, указанным в разделе 1.3. Основное окно приложения предоставляет доступ к функциональным модулям в зависимости от уровня доступа, включая административные панели, операторские интерфейсы, аналитические инструмент. Интерфейс построен с использованием Qt6 и C++, что обеспечивает кроссплатформенность, высокую производительность и гибкость в разработке.

Визуальные компоненты интерфейса реализованы с применением Qt Widgets, что позволяет создавать сложные и настраиваемые элементы управления, соответствующие требованиям каждого типа пользователя. Интерфейс обеспечивает интуитивно понятную навигацию, отображение данных в реальном времени и доступ к аналитическим инструментам, что способствует повышению эффективности работы пользователей. На рисунках 6.8.1, 6.8.2, 6.8.3, 6.8.4, 6.8.5, 6.8.6, 6.8.7, 6.8.8 показаны основные пользовательские интерфейсы разработанной программы.

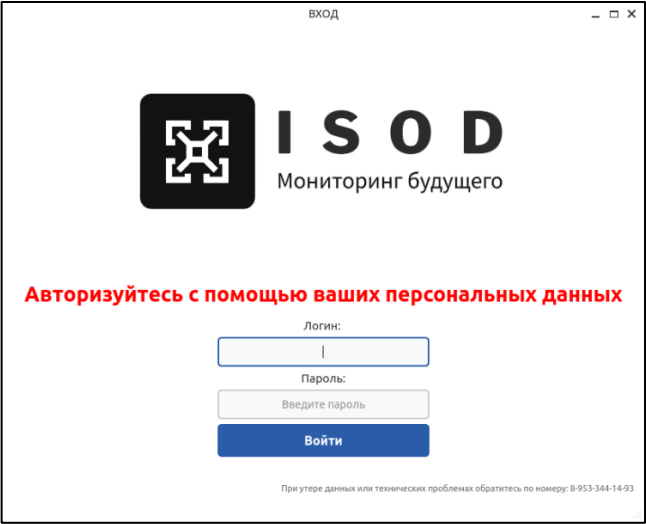


Рисунок 6.8.1 – Окно авторизации в системе (разработано автором)

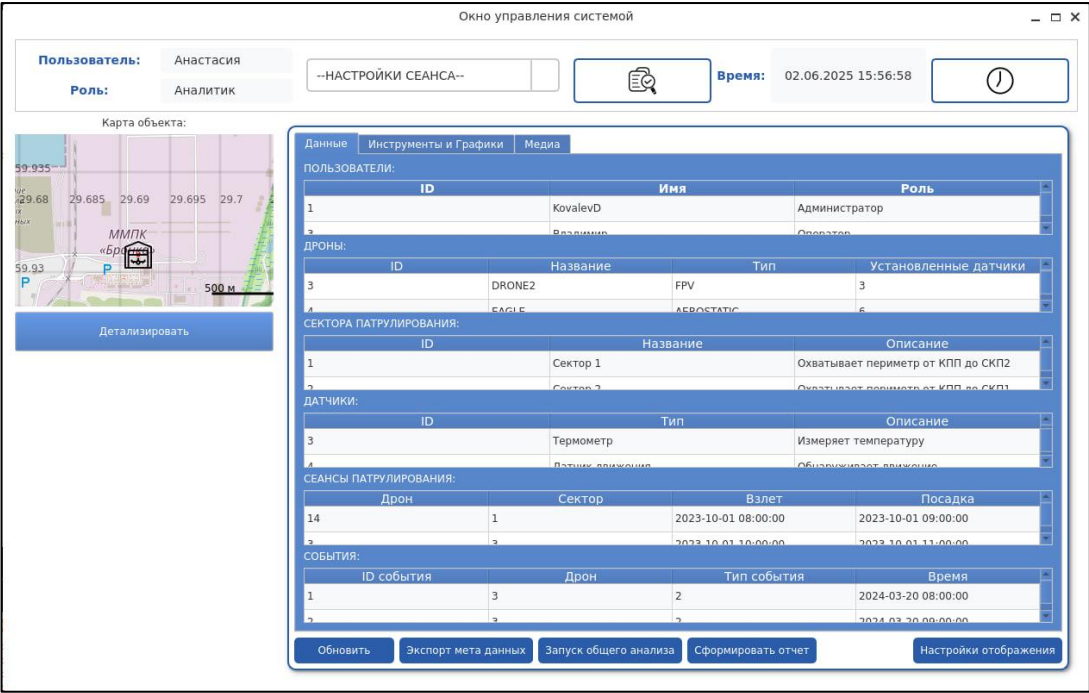


Рисунок 6.8.2 – Главное окно системы: роль аналитик, первая страница(разработано автором)

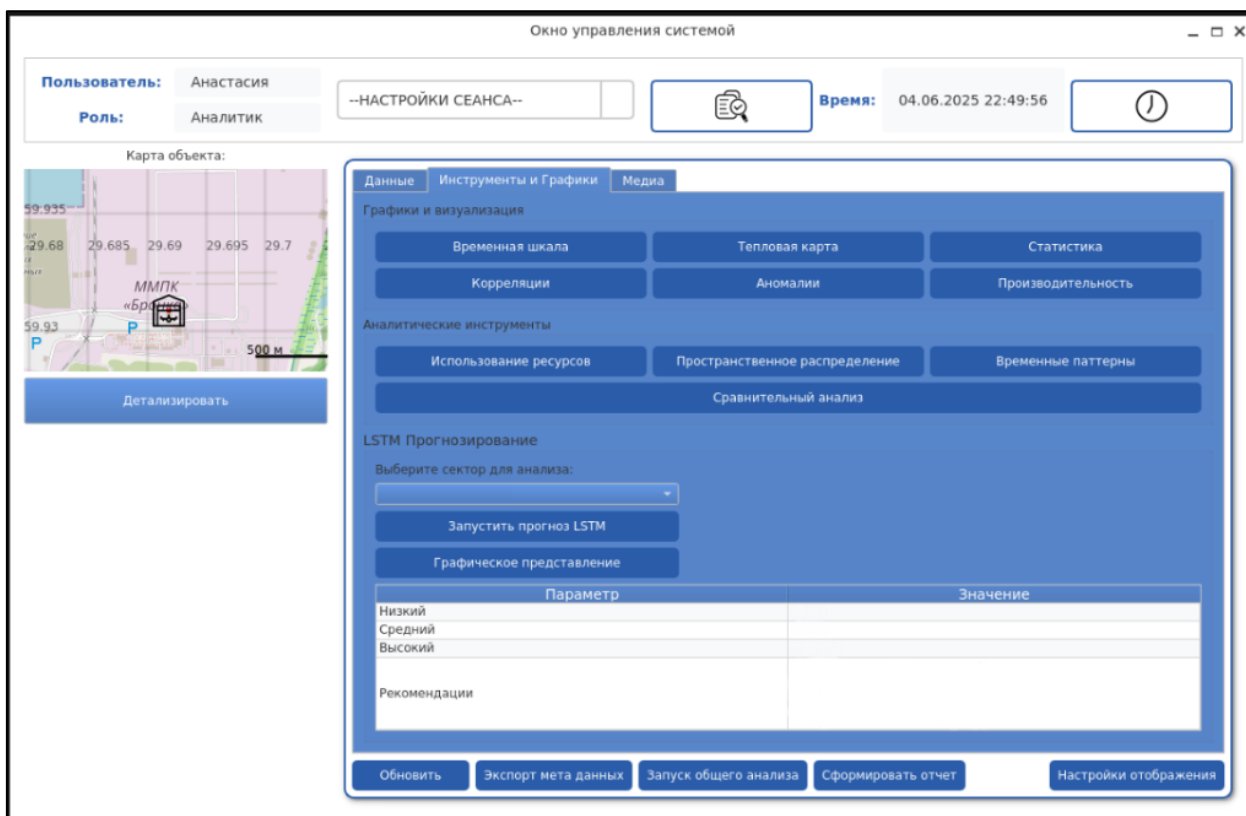


Рисунок 6.8.3 – Главное окно системы: роль аналитик, вторая страница(разработано автором)

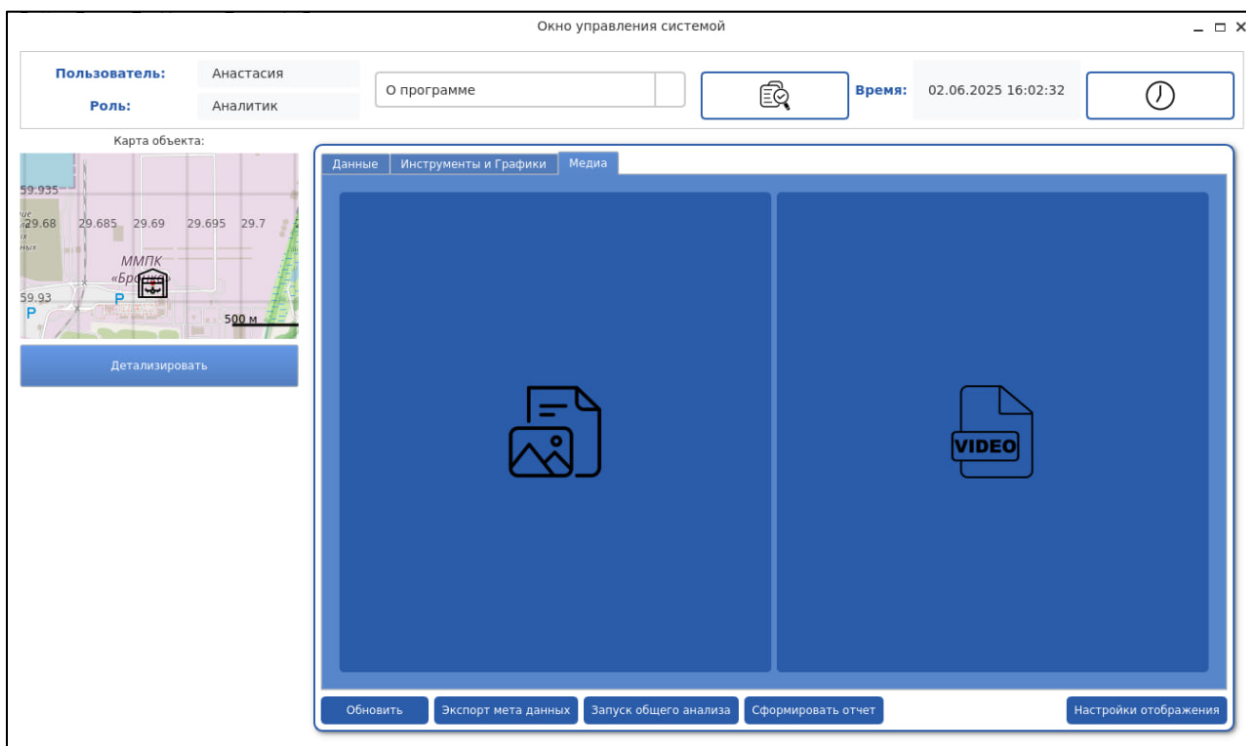


Рисунок 6.8.4 – Главное окно системы: роль аналитик, третья страница(разработано автором)

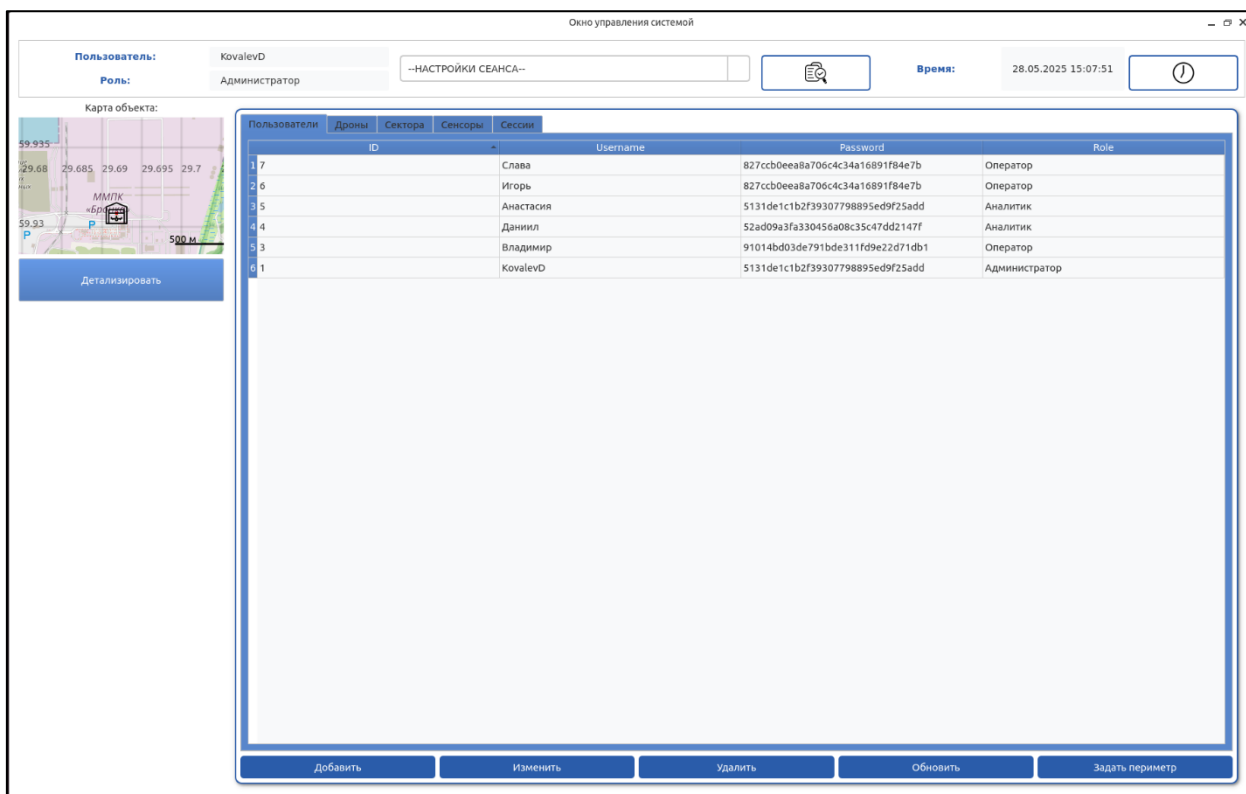


Рисунок 6.8.5 – Главное окно системы: роль администратор (разработано автором)

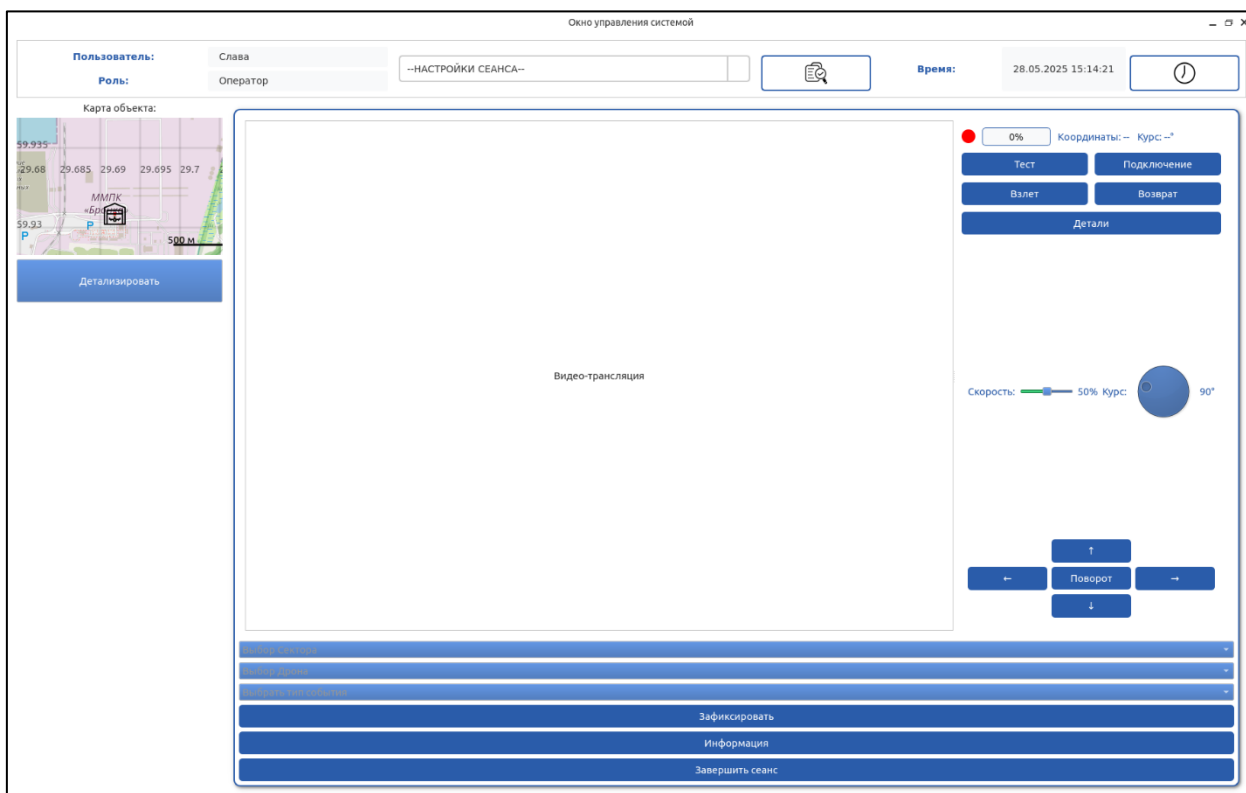


Рисунок 6.8.6 – Главное окно системы: роль оператор (разработано автором)



Рисунок 6.8.7 – Окно карты (разработано автором)

Локальная почтовая система

☐ Только полученные

Сначала старые ▲

Анастасия

Отчет готов

2025-04-14 11:02:27

KovalevD

Отлично

2025-04-14 11:21:10

Обновить

Заккрыть

KovalevD

Введите сообщение...

Отправить

Рисунок 6.8.8 – Окно почтового клиента (разработано автором)